

# Attaques par sous-espaces invariants sur les chiffrements légers

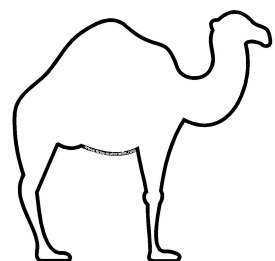
## Cryptanalyse de Robin, iSCREAM et Zorro

Gregor Leander<sup>1</sup>, Brice Minaud<sup>2</sup>, Sondre Rønjom<sup>3</sup>

<sup>1</sup> Ruhr-Universität Bochum, Germany

<sup>2</sup> ANSSI et Université Rennes 1, France

<sup>3</sup> Nasjonal Sikkerhetsmyndighet, Norway



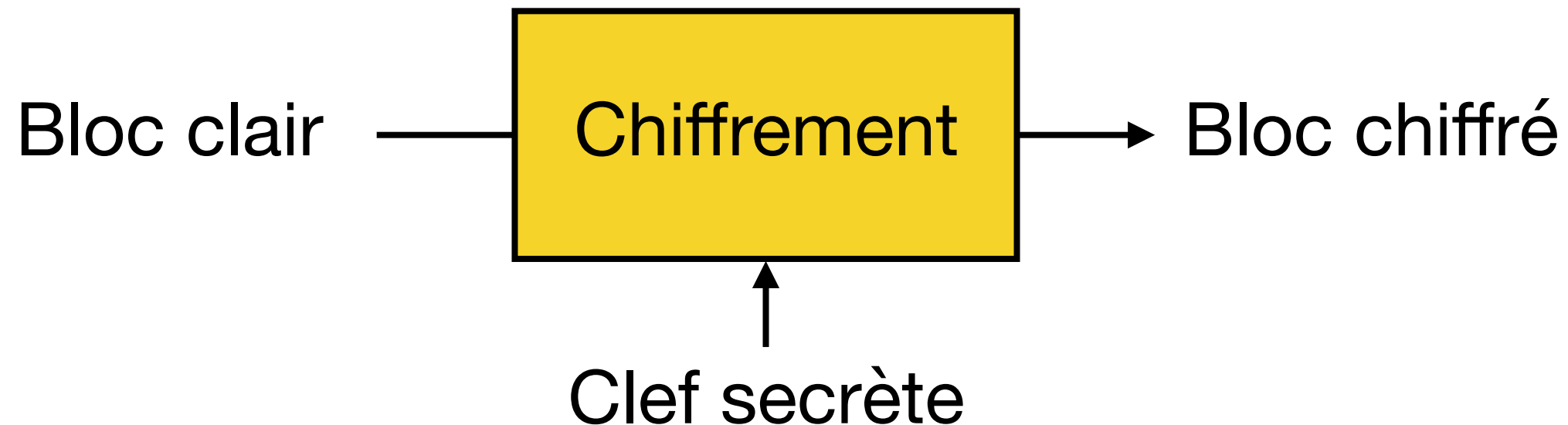
Séminaire Dromadaire EMSEC 2016

# Plan

1. Cryptographie légère.
2. Attaques par sous-espaces invariants.
3. Algorithme générique pour chercher ces attaques.
4. Résultats sur Robin, iSCREAM et Zorro.
5. Fonctions linéaires commutant sur Robin et Zorro.
6. Conclusion.

# Cryptographie légère : chiffrements par bloc légers

# Chiffrements par bloc



Exemples : AES, DES.

On s'intéresse à la primitive cryptographique indépendamment du mode opératoire (CBC, CTR...) ou du protocole.

# Chiffrements par bloc

On sait très bien concevoir ce type de chiffrement :  
AES résiste aux attaques depuis plus de 10 ans.

Algorithmes efficaces, beaucoup implémentés,  
bien étudiés.

# Chiffrements par bloc légers



AES est parfois trop coûteux pour des systèmes embarqués ultralégers. Cependant ces systèmes ont besoin de cryptographie (authentification).

Par ailleurs le contexte de sécurité est différent : on peut se permettre moins de bits de clefs, de plus petits blocs.

**AES** : bloc 128, clef 128 à 256

**PRESENT** : bloc 64, clef 80,128

**Simon** : bloc 32,48,64,96,128, clef 64 à 256

# Comparaisons de taille

Nom	Taille (clef/bloc)	Hardware		Software (8-bit MC)	
		Surface (GE)	Ko/s	Flash (oct)	Ko/s
AES 128	128/128	<b>2400</b>	56	<b>943</b>	445
Simon	128/128	1317	23	732	342
	32/64	<b>566</b>	22	<b>384</b>	-
	32/64	722	88		
PRESENT	64/80	1030	12	487	96

Source: NSA, document sur Simon et Speck.

# Solutions industrielles historiques

À l'origine : algorithmes propriétaires. Lorsqu'ils deviennent public, ils sont généralement cassés assez rapidement.

- **KeeLoq** : pour clefs de voitures électroniques. Cassé par des attaques réalistes (216 challenges, soit 1h de challenge-réponse, + 3j de calculs). 1995-?.
- **DST** : clefs de voiture, systèmes de paiement. 40 bits de clefs, cassable en temps réaliste (1h). ?-2005.
- **CRYPTO1** : notamment transports publics (MIFARE Classic). Cassable en quelques secondes. 2008.

# Solutions académiques

Grand nombre de propositions académiques :

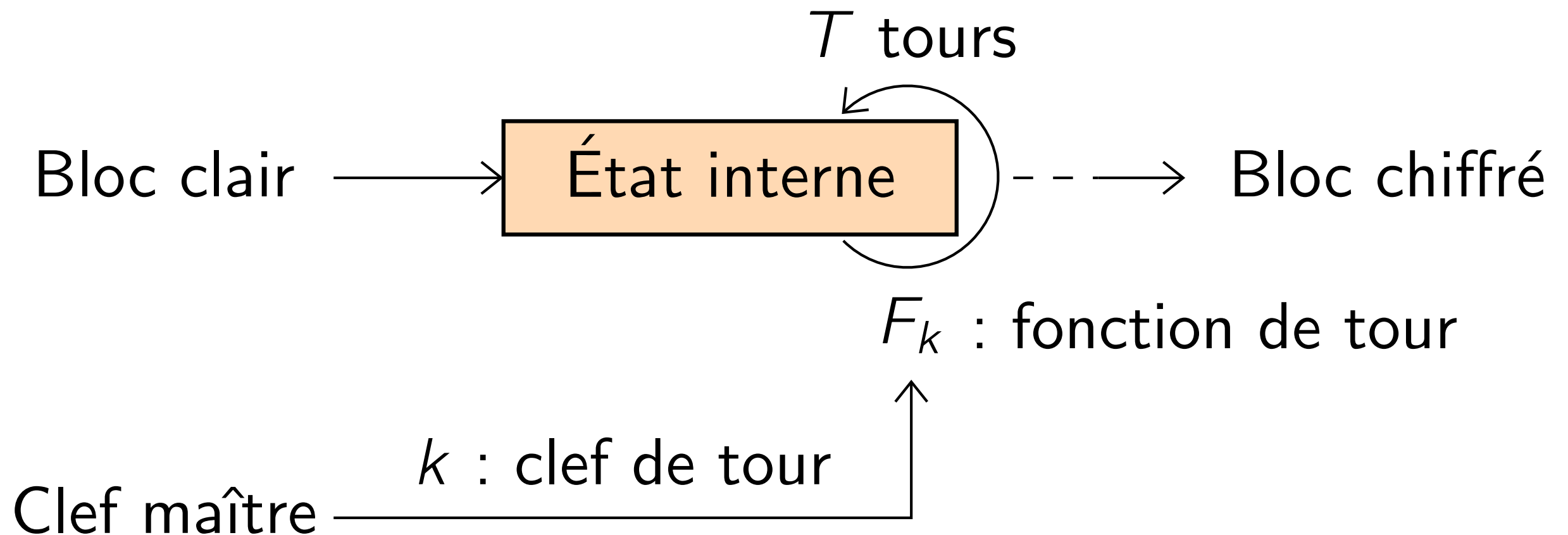
PRESENT (2007), KATAN (2009), PRINTCipher (2010),  
Piccolo (2011), LED (2011), SIMON (2013), . . .

Réalité : encore rarement utilisés.

Standardisation ISO/IEC : PRESENT, Chaskey.

# Attaques par sous-espaces invariants

# Chiffrement par bloc : détail



Cadencement de clef : dérivation des clefs de tours à partir de la clef maître.

# Invariant Subspace Attacks

Chiffrements légers sur environnements contraints  
→ économie maximale.

Cible potentielle : le cadencement de clef.

Certains chiffrements légers n'ont pas du tout de cadencement de clef :

Noekeon (NESSIE 2000), LED (CHES 2011), Zorro (CHES 2013), Robin (FSE 2014)...

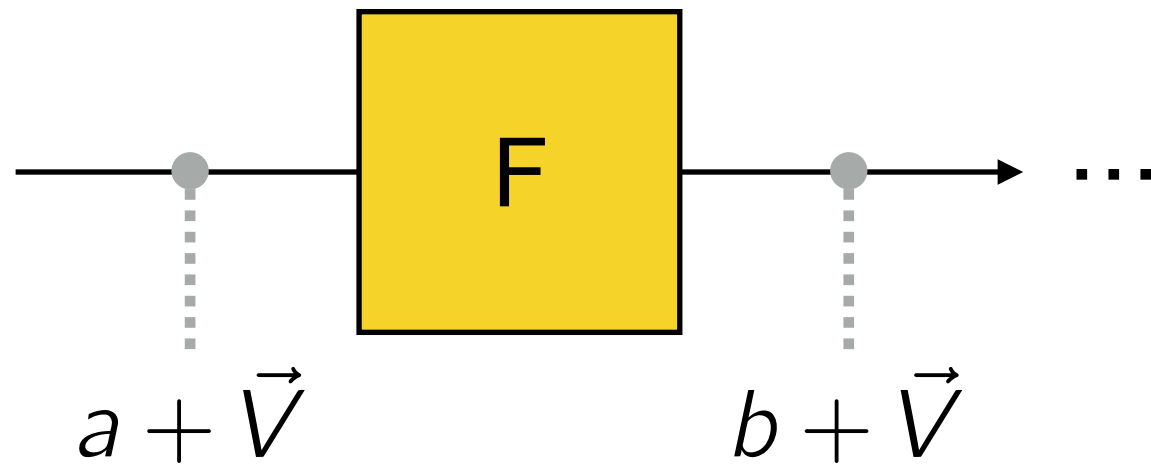
# Attaques par sous-espaces invariants

Les **Attaques par sous-espaces invariants** (Invariant Subspace Attacks) ont été introduites à CRYPTO 2011.

Utilisées pour casser PRINTCIPHER en temps pratique [LAKZ11].

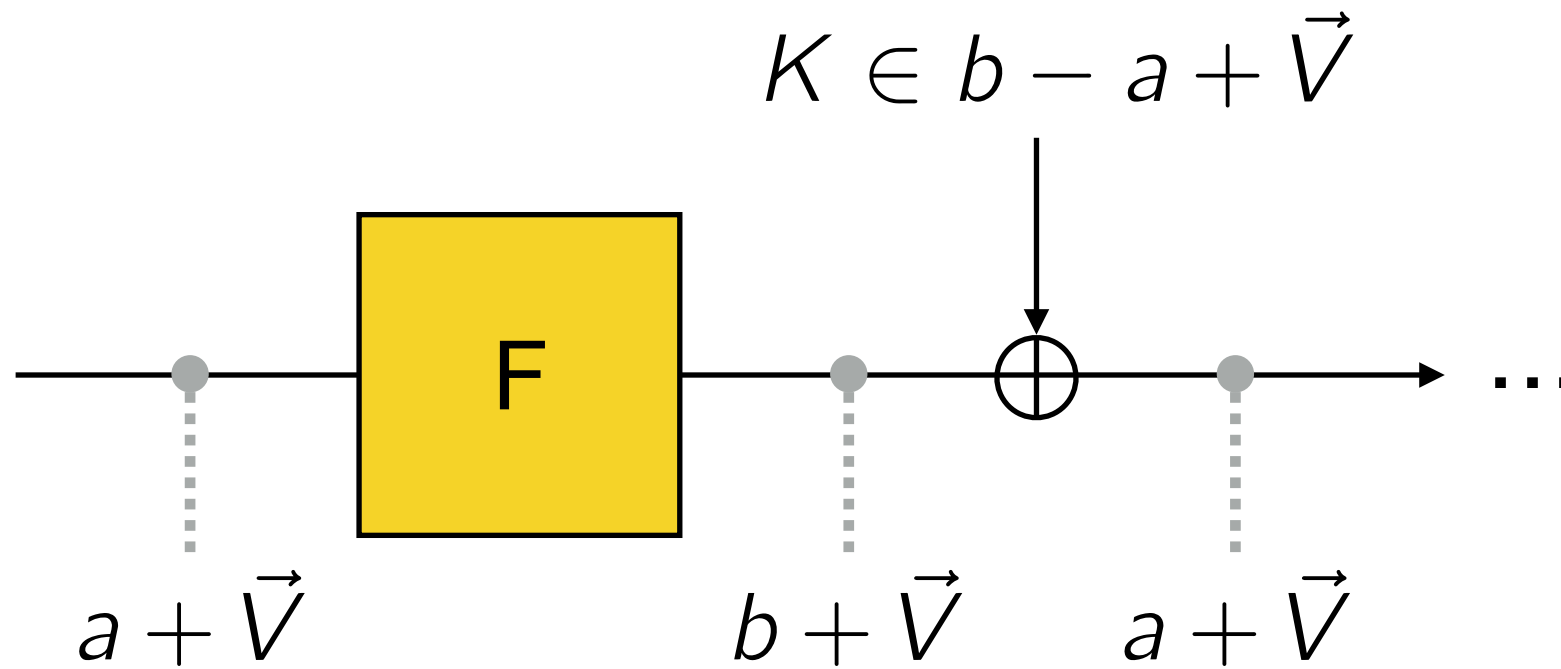
S'appuie sur l'absence de cadencement de clef.

# Sous-espaces invariants



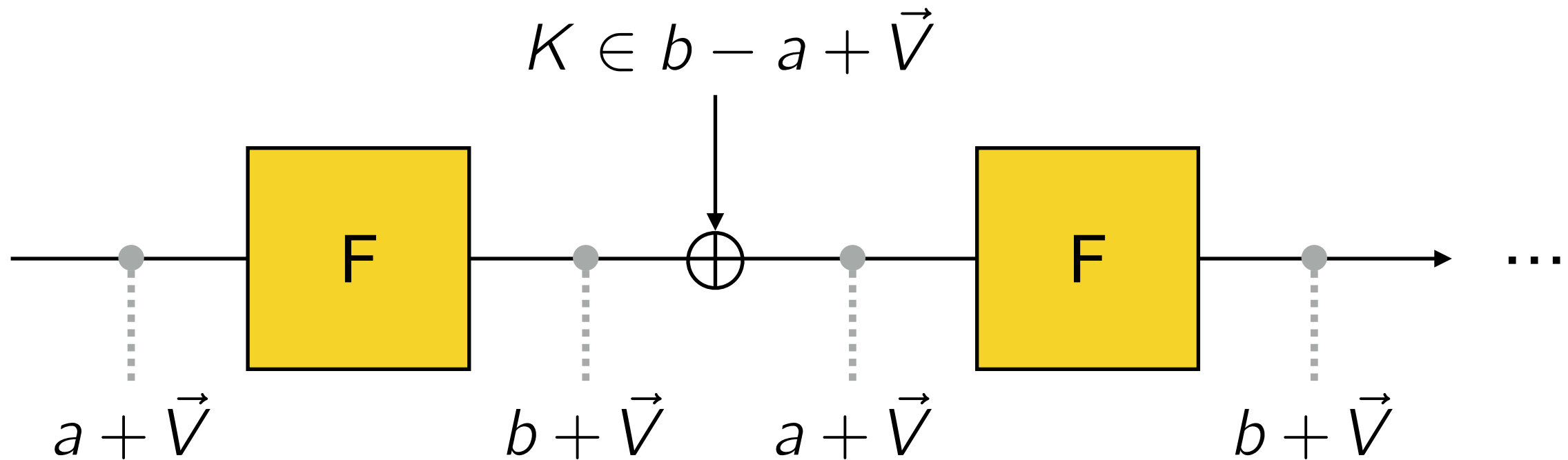
Supposons que la fonction de tour envoie un espace vectoriel sur un coset du même espace.

# Sous-espaces invariants



Supposons aussi  $K \in b - a + \vec{V} \dots$

# Sous-espaces invariants

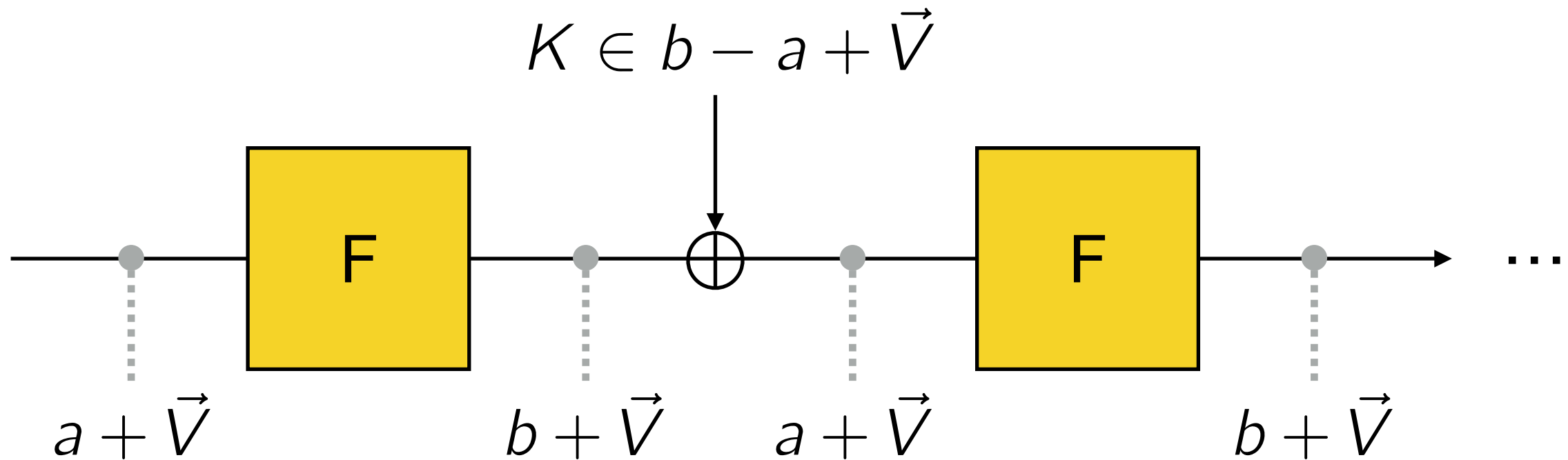


Supposons aussi  $K \in b - a + \vec{V} \dots$

Alors le processus se répète.

Les clairs de  $a + \vec{V}$  sont chiffrés dans  $b + \vec{V}$ .

# Sous-espaces invariants

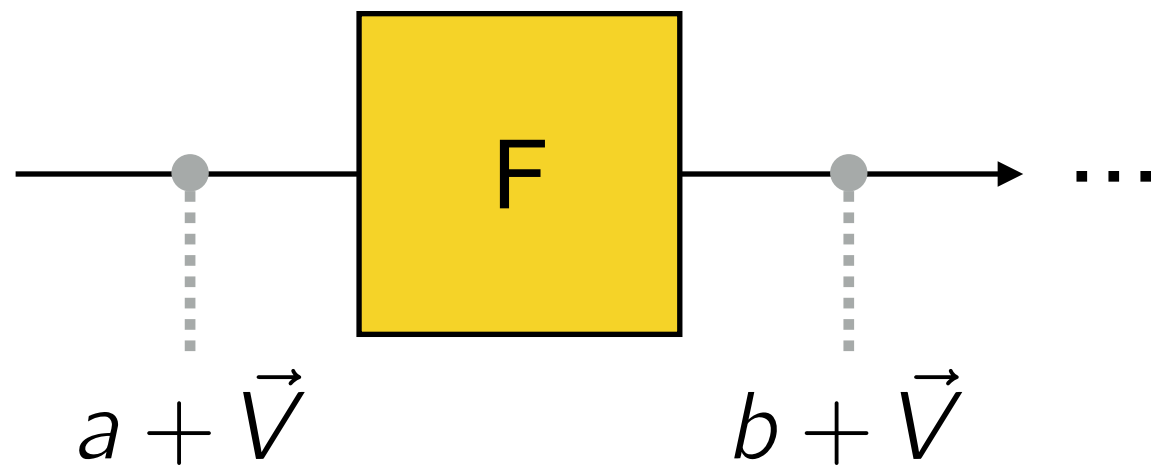


La confidentialité est perdue.

Densité des clefs faibles:  $2^{-\text{codim } \vec{V}}$

Trouver les sous-espaces invariants:  
un algorithme générique

# Un algorithme générique

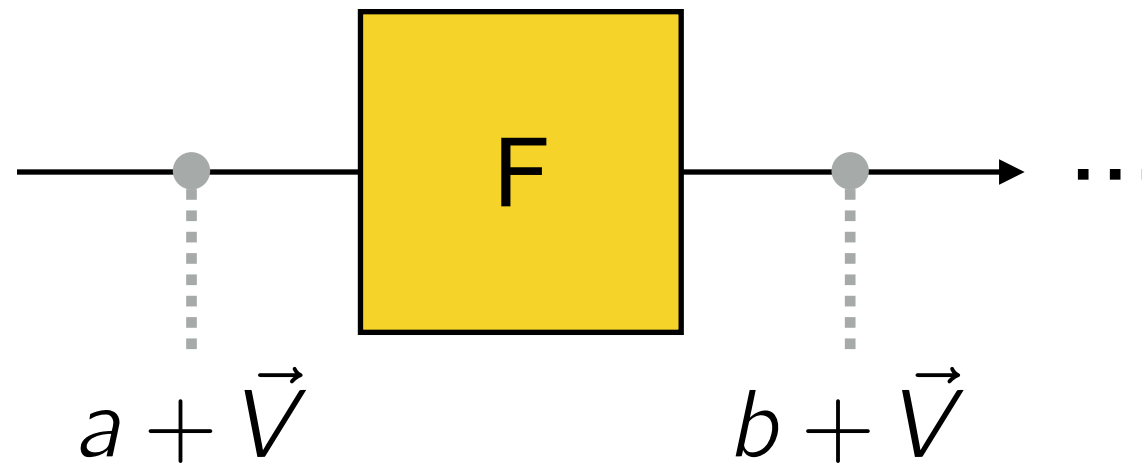


Bootstrap: supposons connus  $s, t \in a + \vec{V}$

Alors  $F(s), F(t) \in b + \vec{V}$  donc  $F(s) - F(t) \in \vec{V}$

$\Rightarrow$  On connaît un nouveau vecteur de  $\vec{V}$ .

# Un algorithme générique



## Algorithme de “Fermeture”

**Entrée:**  $s, \vec{W}$  tels que  $s + \vec{W} \subseteq a + \vec{V}$

**Sortie:**  $a + \vec{V}$

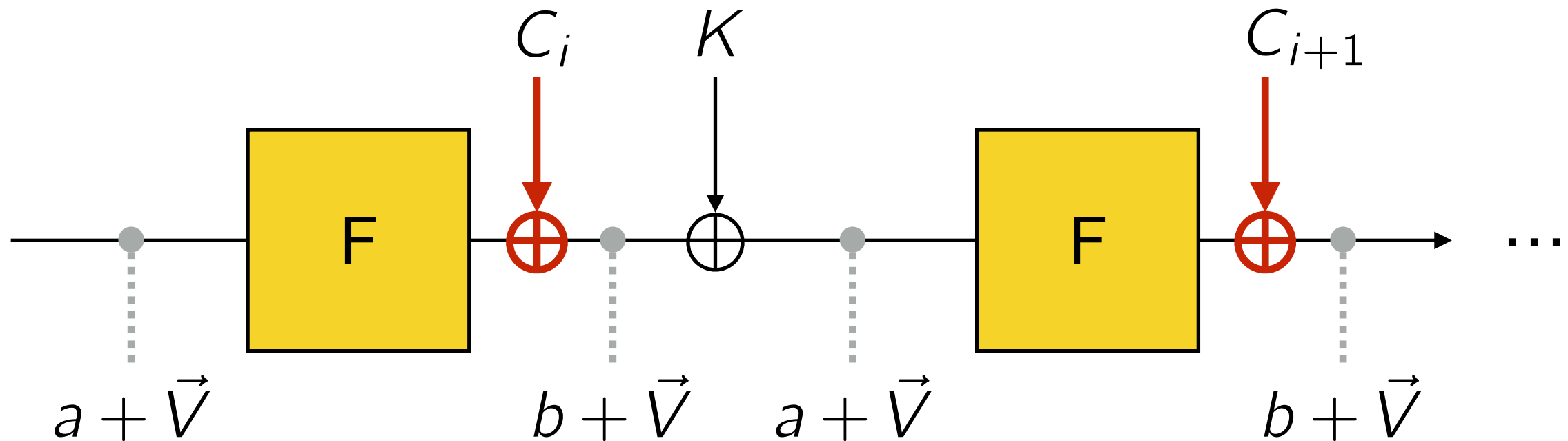
1. Tirer  $w \leftarrow_{\$} \vec{W}$
2. Ajouter  $F(s + w) - F(s)$  à  $\vec{W}$
3. Réitérer les étapes 1 et 2 jusqu'à ce que  $\vec{W}$  reste stable pendant  $N$  itérations.
4. Renvoyer  $s + \vec{W}$

# Un algorithme générique

*Quelques remarques...*

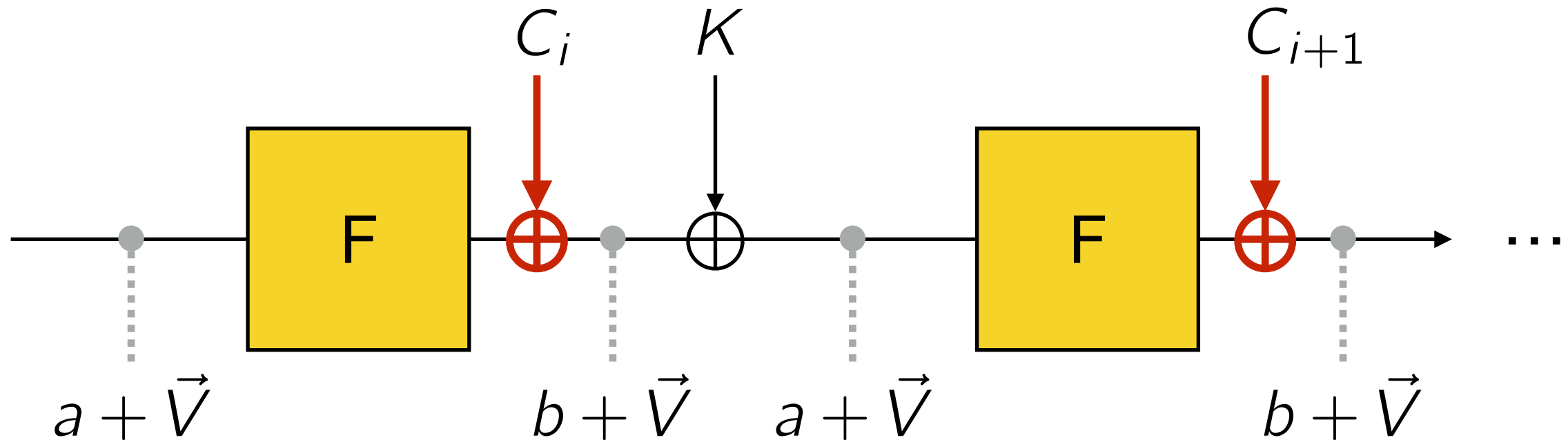
- L'algorithme renvoie seulement le plus petit espace invariant contenant l'entrée.
- ... on doit encore bootstraper.

# Bootstrap de l'algorithme



On a un peu menti. Il y a des constantes de tour.

# Bootstrap de l'algorithm



En fait on veut  $\forall i, C_i \in \vec{V}$

Cela fournit un “noyau”  $\vec{W} = \text{span}\{C_i\} \subseteq \vec{V}$

Si  $a \neq 0$ , il reste à trouver un offset  $s \in a + \vec{V}$ .  
On essaie simplement des offsets aléatoires.

# Complexité

## Algorithm générique

1.  $\vec{W} \leftarrow \text{span} \{C_i\}$
2. Deviner offset  $s$
3. Calculer  $\text{Closure}(s + \vec{W})$
4. Répéter jusqu'à ce que  $\dim(\text{Closure}) < n$

Si  $a + \vec{V}$  est en fait linéaire : résultat instantané.

Sinon, en moyenne :  $2^{-\text{codim } \vec{V}}$  essais.

# Propriétés de l'algorithme

- Générique: fonctions de tour utilisées en boîtes noires.
- Ne réfute pas l'existence de “petites” espaces.
- Implémentation publique :  
<http://invariant-space.gforge.inria.fr>

# Résultats sur Robin, iSCREAM et Zorro

# Robin, iSCREAM et Zorro

**Robin** et Fantomas: chiffrements légers, créés pour illustrer les LS-designs, FSE 2014 [GLSV14].

SCREAM et **iSCREAM**: variantes authentifiées de Robin et Fantomas, pour la compétition CAESAR.

**Zorro**: chiffrement léger avec couche non-linéaire partielle [GGNS13]. Cassé par attaques linéaires et différentielles. Meilleure attaque :  $2^{40}$  données et  $2^{40}$  complexité [BDDLKT14].

# Résultats de l'algorithme générique

	Résultat	Temps
Robin	<b>Sous-espace trouvé!</b> codimension 32	22h
iSCREAM	<b>Sous-espace trouvé!</b> codimension 32	22h
Zorro	<b>Sous-espace trouvé!</b> codimension 32	<1h
Fantomas	 <p>Avec probabilité 99.9%: Pas d'espace invariant de codimension &lt; 32</p>	
NOEKEON		
LED		
Keccak		

➔ Clefs faibles de densité  $2^{-32}$ , qui entraînent perte de confidentialité pour Robin, iSCREAM, Zorro.

# Fonctions linéaires qui commutent

# Robin

**Robin and Fantomas** [GLSV14], FSE 2014.

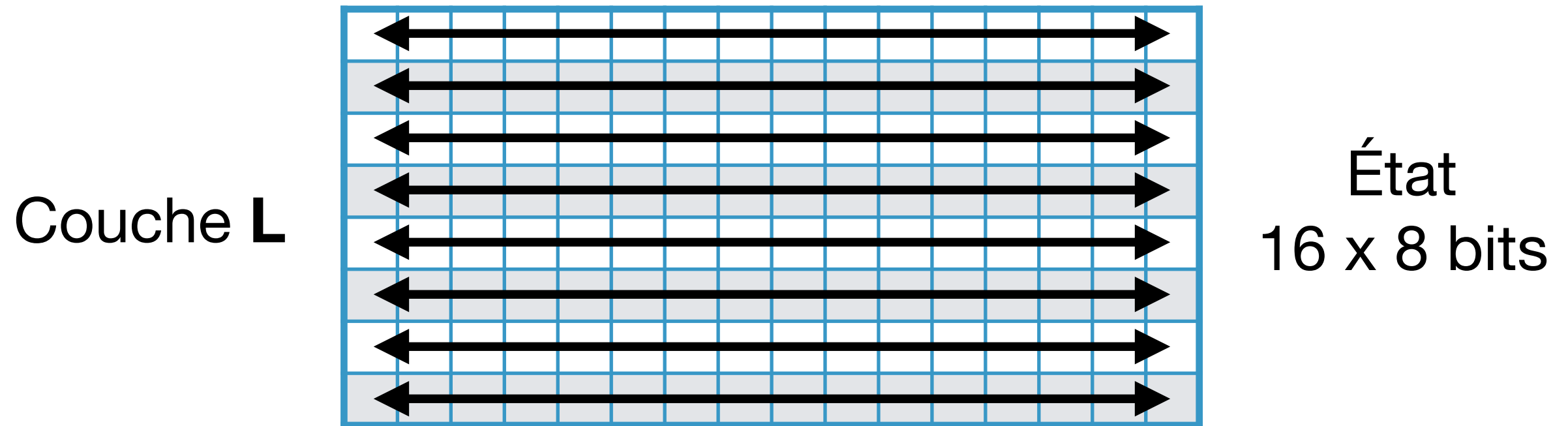
Chiffrements légers avec masquage facilité.

Bloc = 128 bits — Sécurité = 128 bits

Robin = version involutive.

Design simple et élégant : “LS-design”.

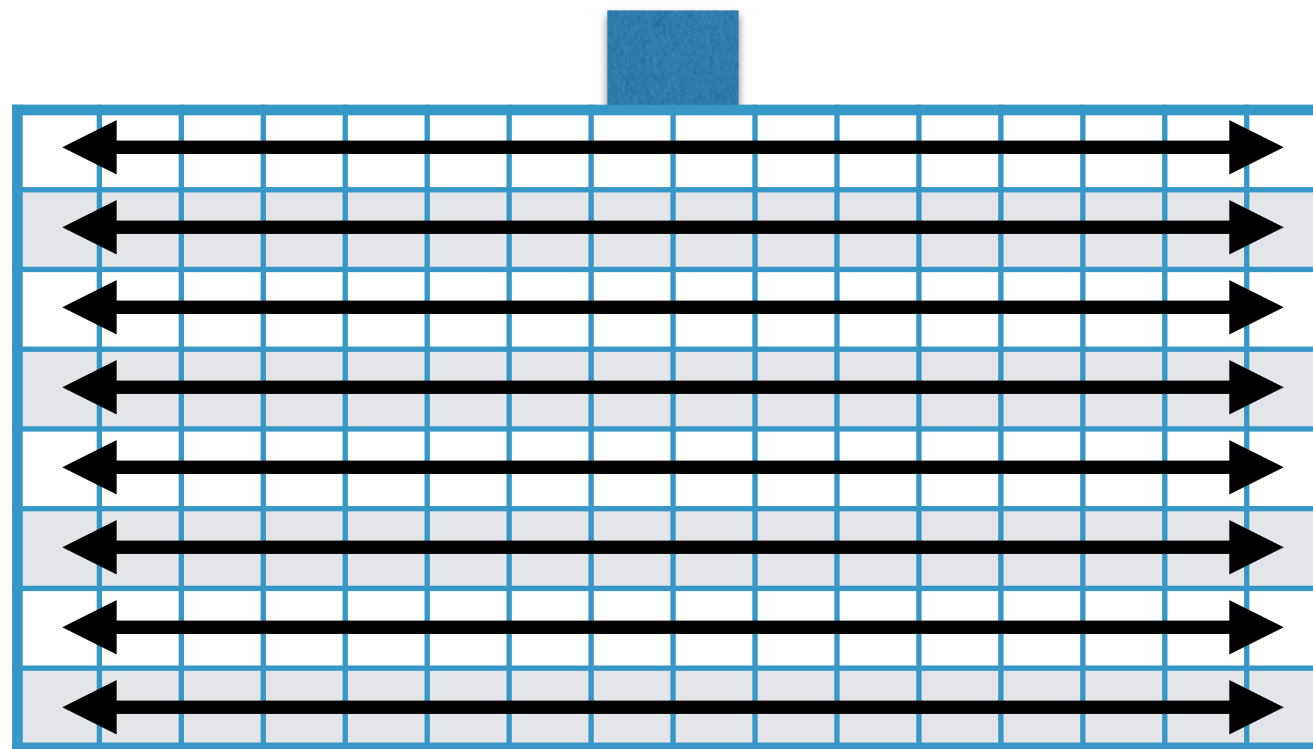
# Robin: couche L



La même fonction linéaire  $L$  est appliquée à chaque rangée.

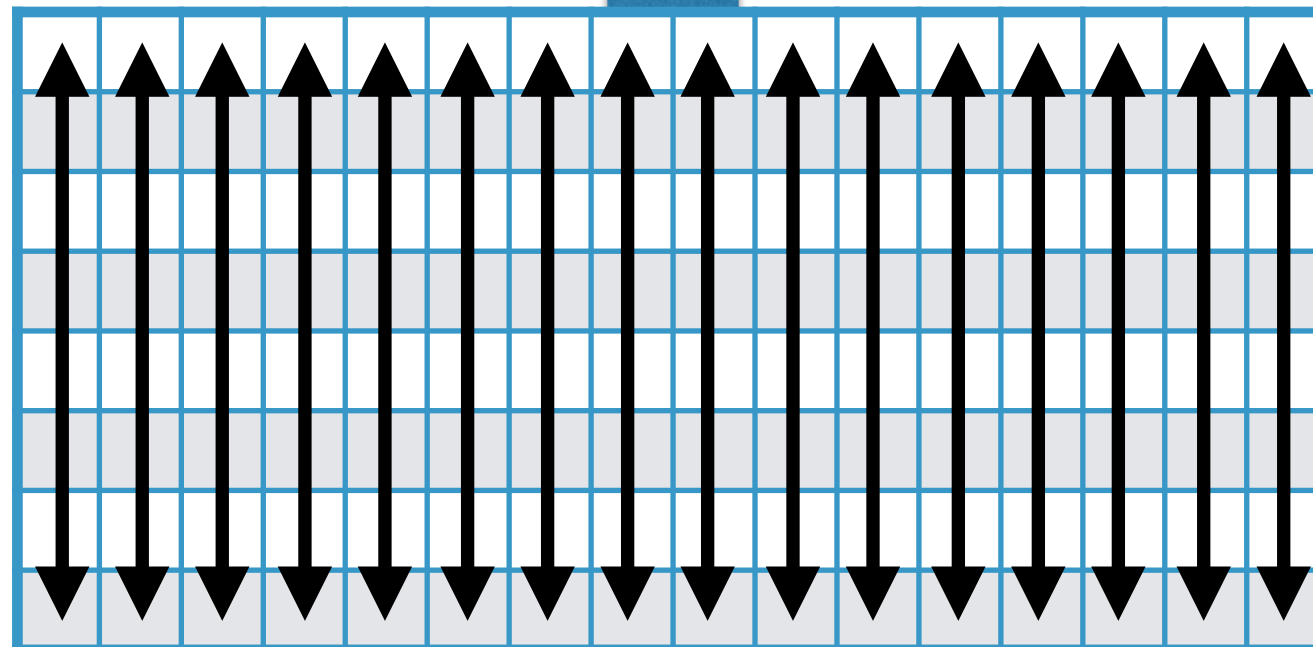
# Robin: couches LS

Couche **L**



Même fonction  
linéaire sur  
chaque rangée

Couche **S**

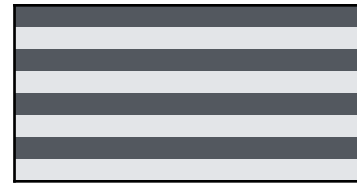


Même boîte **S**  
sur chaque  
colonne

# Fonction de tour de Robin

Un tour =

• Couche **L**



• Couche **S**

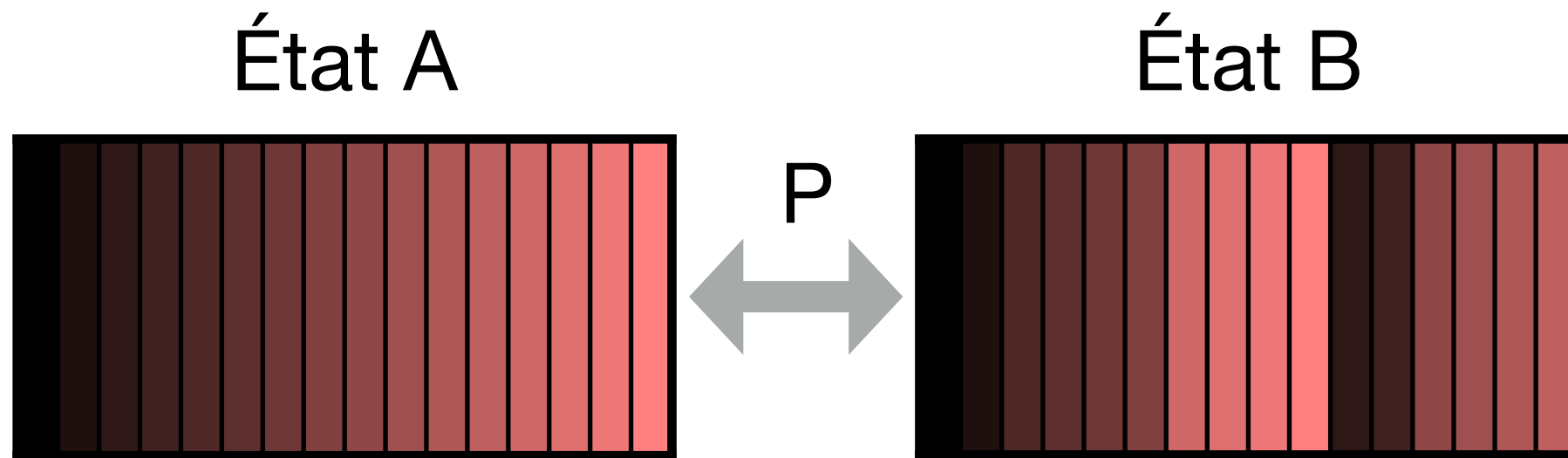


• Ajout de constante de tour

• Ajout de clef

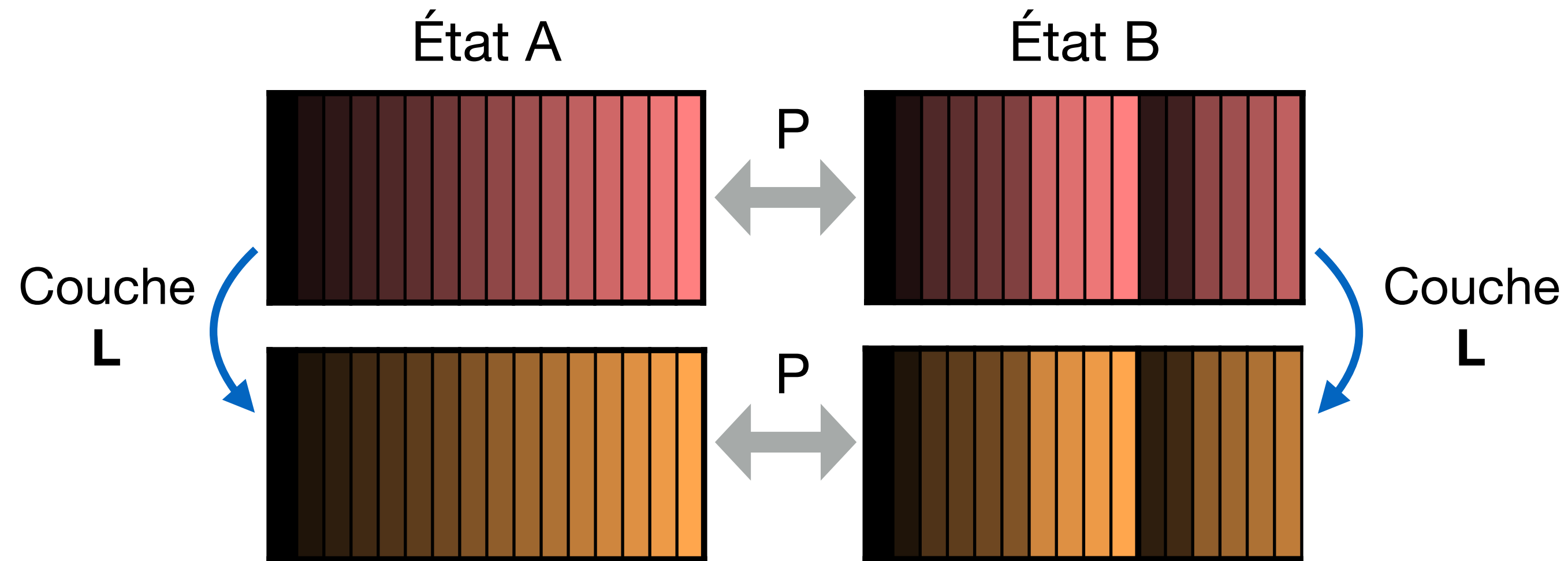
Un chiffrement = 16 tours.

# Permutations invariantes



État B = permutation des colonnes de l'état A

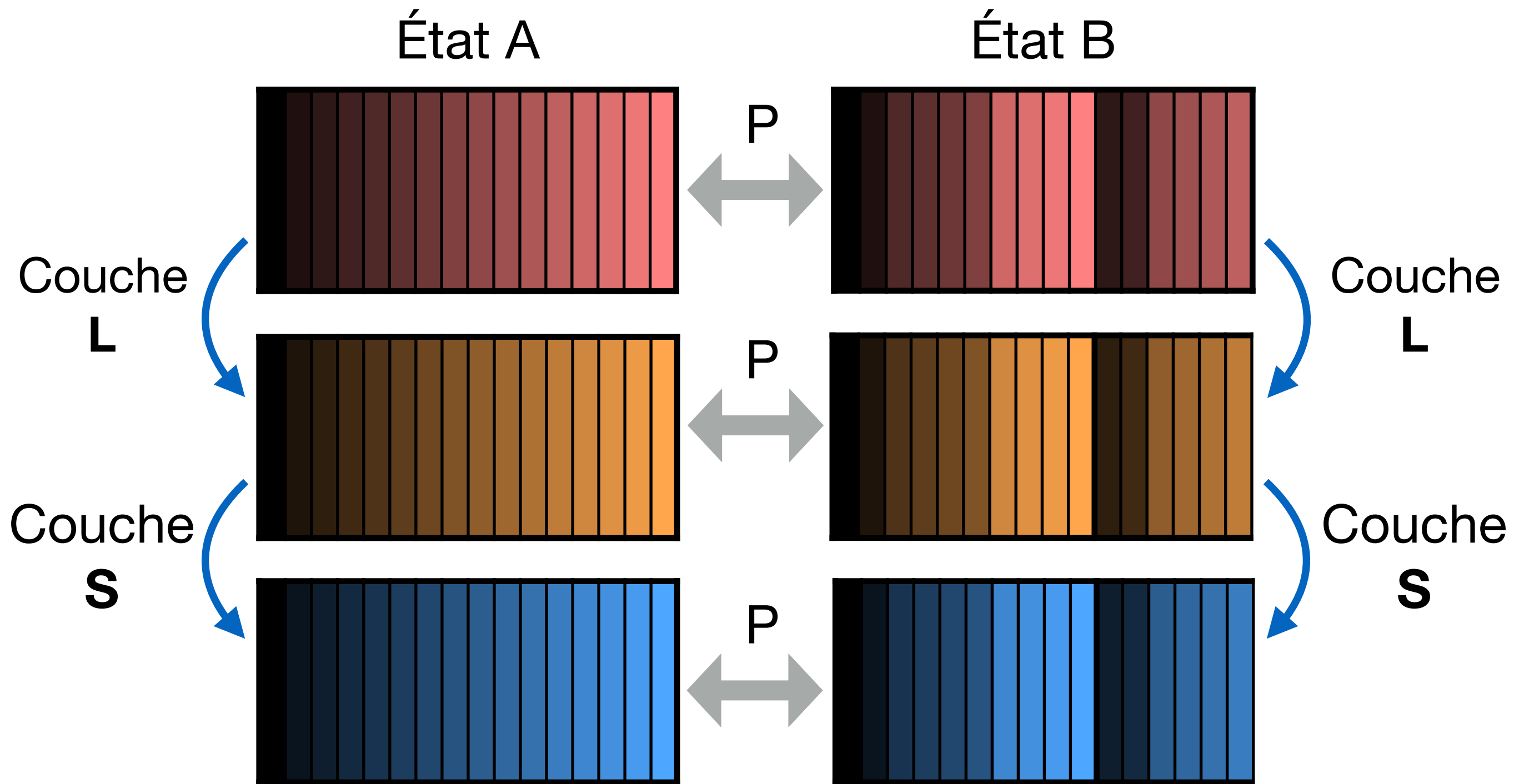
# Permutations invariantes



Supposons  **$PL = LP$** .

Alors l'état B reste une permutation de l'état A à travers la couche **L**.

# Permutations invariantes



La couche **S** a la même propriété gratuitement !

# Permutations invariantes

L'état B reste une permutation de l'état A à travers...

- La couche **L**: OK si  $LP = PL$ .
- La couche **S**: OK.
- L'ajout de constante : OK si  $P(C_i) = C_i$ .
- L'ajout de clef : OK si  $P(K_A) = K_B$ .

➔ P commute avec la fonction de tour entière !

# Attaque par permutation invariante

Si  $LP = PL$  et  $\forall i, C_i \in \ker(P + \text{Id})$ :

alors pour deux **clefs reliées**  $K_2 = P(K_1)$ ,

deux **clairs reliés**  $P_2 = P(P_1)$  restent liés à travers le chiffrement et donnent des **chiffrés reliés**  $C_2 = P(C_1)$ .

Si  $LP = PL$  et  $\forall i, C_i \in \ker(P + \text{Id})$ :

alors pour une clef **auto-reliée**  $K = P(K)$ ,

deux **clairs reliés**  $P_2 = P(P_1)$  restent liés à travers le chiffrement et donnent des **chiffrés reliés**  $C_2 = P(C_1)$ .

# Attaque par sous-espace invariant

Si  $LP = PL$  et  $\forall i, C_i \in \ker(P + \text{Id})$ :

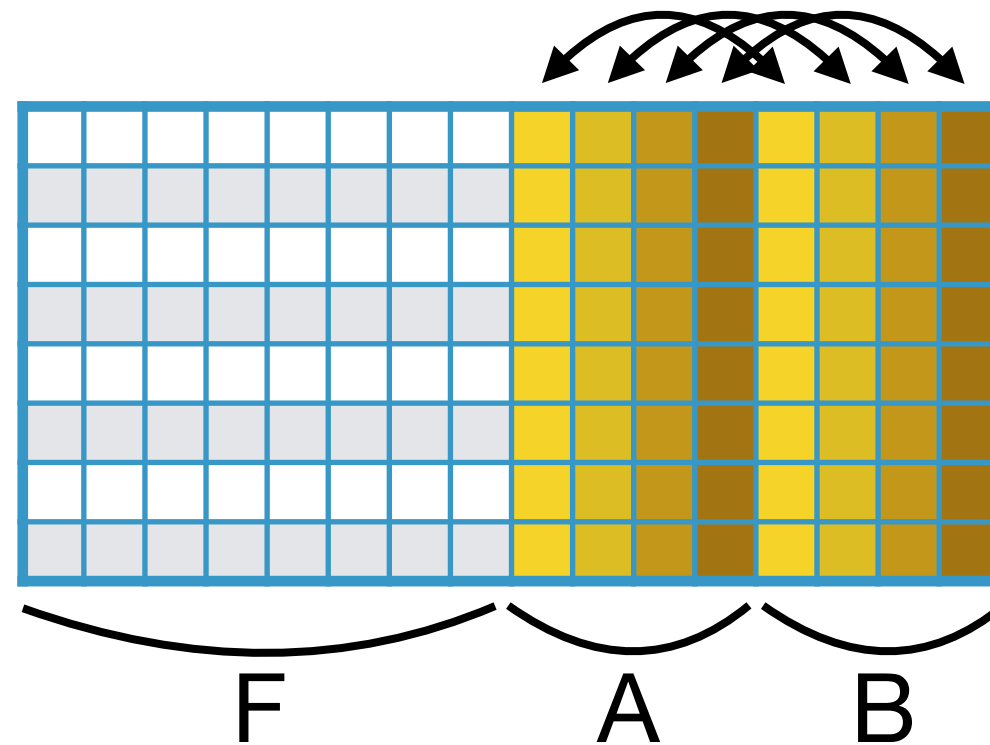
alors pour une clef *auto-reliée*  $K = P(K)$ ,  
des clairs *auto-reliés*  $M = P(M)$  produisent des  
chiffrés *auto-reliés*  $C = P(C)$ .

Ceci est une attaque par sous-espace invariant !

Le sous-espace invariant est  $\ker(P + \text{Id})$ .

# Sous-chiffrement

Permutation  $P$  :  
échange 8  
colonnes



Soient  $m, m'$  **auto-reliés**,  $\pi_F, \pi_A, \pi_B$  projections sur  $F, A, B$ .

**Prop 1.** Si  $\pi_F(m) = 0$  alors  $\pi_F(L(m)) = 0$ .

$$P(\pi_A(m)) = \pi_B(m) \Rightarrow P \circ L(\pi_A(m)) = L(\pi_B(m)) \Rightarrow \pi_F(L(\pi_A(m) + \pi_B(m))) = 0.$$

**Prop 2.** Si  $\pi_F(m) = \pi_F(m')$  alors  $\pi_F(E_K(m)) = \pi_F(E_K(m'))$ .

De plus cette valeur ne dépend que de  $\pi_F(K)$ .

# Attaque sur Robin et iSCREAM

Robin et iSCREAM : une permutation adéquate  $P$ .

- Attaque à **clef faible**. Densité  $2^{-\text{codim ker}(P+\text{Id})} = 2^{-32}$
- Attaque à **clef reliée**.
- Données requises : 2 clairs choisis, coûts en temps et mémoire négligeables.

De plus, pour des clefs faibles:

- Les points fixes de  $P$  forment un sous-chiffrement.
- Recouvrement de la clef en temps  $2^{64}$ .

# Robin vs Zorro

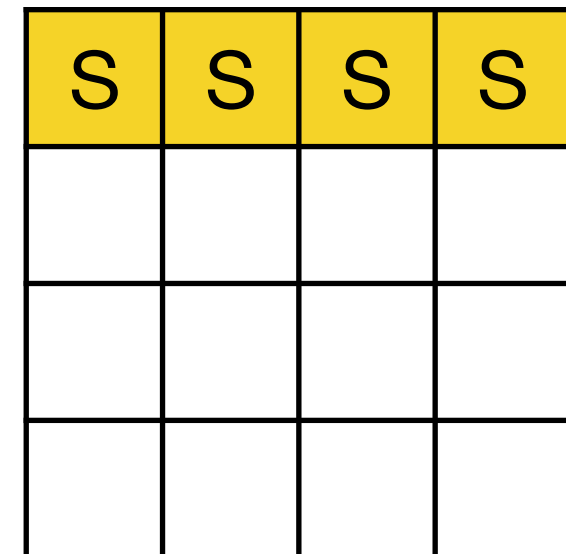
Zorro est un variante d'AES avec quelques différences notables :

- Pas de cadencement de clef.
- S-boîtes sur une seule rangée.

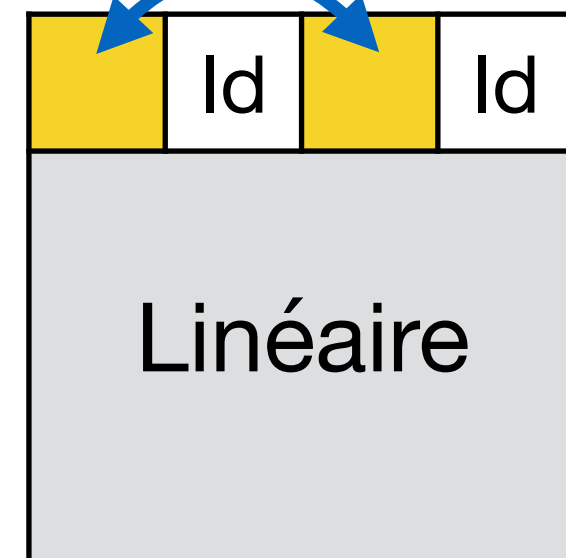
Cependant : il existe encore  $M$  qui commute avec la fonction de tour !

➔ **Toutes** les faiblesses de Robin.

En particulier, clefs faibles de densité  $2^{-32}$ .



Échange



# Comparaison des attaques

	Type	Data	Time	Reference
Robin, iSCREAM	Clefs faibles, densité $2^{-32}$	2 CP	négligeable	<b>ce papier</b>
	Clefs faibles, densité $2^{-32}$	2 CP	négligeable	<b>ce papier</b>
Zorro	Différentiel	$2^{41.5}$ CP	$2^{45}$	[BDDLKT14]
	Linéaire	$2^{45}$ KP	$2^{45}$	[BDDLKT14]

# Conclusion

- Algorithme générique pour espaces invariants.  
Trouve automatiquement les attaques sur Robin, iSCREAM et Zorro.
- Cassage pratique de Robin, iSCREAM et Zorro.  
Clefs faibles de densité  $2^{-32}$  dans les trois cas.  
Basé sur un nouveau type d'autosimilarité.  
Propriétés liées : fonction linéaire qui commute, sous-chiffrement...
- Épilogue : iSCREAM éliminé de CAESAR.  
Petit sous-espace invariant sur Midori (2015).

# Conclusion

Merci pour votre attention!

Questions ?